

Discussion

The results listed in Table I confirm the increasing stack formation in the Cu(bpy)(5'-NMP) complexes, $\text{IMP}^{2\ominus} < \text{AMP}^{2\ominus} \approx \text{GMP}^{2\ominus}$, and they show in addition that the formation degree of the stack in aqueous solution in all three cases is rather large. It may be added that X-ray crystal studies of $[\text{Cu}(\text{H}\cdot 5'\text{-AMP})(\text{bpy})(\text{H}_2\text{O})]_2 \cdot (\text{NO}_3)_2 \cdot 6\text{H}_2\text{O}$ ^[12], $[\text{Cu}(\text{H}\cdot 5'\text{-AMP})(\text{phen})]_2 \cdot (\text{NO}_3)_2 \cdot 8\text{H}_2\text{O}$ ^[13], and of similar mixed ligand complexes^[14] have proven the formation of intramolecular stacks also for the solid state.

It is remarkable that the intramolecular stack of Equilibrium (1) reaches within the error limits the same formation degree for Cu(bpy)(5'-GMP) and Cu(bpy)(5'-AMP). Indeed, the mentioned order warrants attention as it differs from that observed for the self-stacking tendency of the corresponding base residues (which occurs head-to-tail): inosine ($K = 3.3 \text{ M}^{-1}$) < guanosine (8 M^{-1}) < adenosine (15 M^{-1})^[15]. This observation indicates that in the stack formation donor-acceptor effects are involved because these evidently change in the two compared stacking processes. Furthermore, the results confirm earlier observations^[4,5,7,15] that a metal ion-bridge facilitates stacking interactions.

All the mentioned effects certainly influence the recognition reactions of the base moieties in enzymic reactions of nucleotides, as well as those of nucleic acids with other substances. The occurrence of nucleic base interactions with amino acid side chains^[4,7] in enzymes is well-known^[16], as is the intercalation of bpy, phen, and related ligands^[17] into nucleic acids, especially into DNA.

Received: February 9, 1990 [FC 184]

- [1] S. S. Massoud, R. Tribolet, H. Sigel, *Eur. J. Biochem.* 187 (1990) 387.
- [2] P. D. Boyer, *Biochemistry* 26 (1987) 8503.
- [3] R. B. Martin, *Met. Ions Biol. Syst.* 23 (1988) 315.
- [4] H. Sigel in T. D. Tullius (Ed.): *Metal-DNA Chemistry*, ACS Symp. Ser. No. 402, Washington DC (1989), p. 159.
- [5] H. Sigel, *Biol. Trace Element Res.* 21 (1989) 49.
- [6] H. Sigel, *Coord. Chem. Rev.* 100 (1990) 453.
- [7] a) H. Sigel, *Pure Appl. Chem.* 61 (1989) 923; b) H. Sigel, R. Tribolet, O. Yamauchi, *Comments Inorg. Chem.*, in press.
- [8] S. S. Massoud, H. Sigel, *Inorg. Chim. Acta* 159 (1989) 243.
- [9] The source of the NMPs is the same as previously, and the determinations of equilibrium constants via potentiometric pH titrations were carried out exactly as described^[1,8].

- [10] a) $\text{Cu}(\text{bpy})^{2\ominus}$ is practically completely formed^[18]. In the calculations for Equation (2) H^\oplus , $\text{H}_2(\text{NMP})^\ominus$, $\text{H}(\text{NMP})^\ominus$, $\text{NMP}^{2\ominus}$, $\text{Cu}(\text{bpy})^{2\ominus}$, and $\text{Cu}(\text{bpy})(\text{NMP})$ are taken into account^[1,8]. The acidity constants are based on direct pH-meter reading, i.e. they are defined for H^\oplus activity (so-called «mixed» or Brønsted constants): $K_{\text{H}}^{\text{H}_2(\text{NMP})} = [\text{H}^\oplus][\text{H}(\text{NMP})^\ominus]/[\text{H}_2(\text{NMP})]$ and $K_{\text{H}}^{\text{H}(\text{NMP})} = [\text{H}^\oplus][\text{NMP}^{2\ominus}]/[\text{H}(\text{NMP})^\ominus]$. - b) In the $\text{Cu}^{2\ominus}$ complexes of $\text{IMP}^{2\ominus}$, $\text{GMP}^{2\ominus}$, and $\text{AMP}^{2\ominus}$ macrochelate formation with N-7 of the purine moiety occurs^[4,10c]; however, N-7 is released from the coordination sphere of metal ions upon formation of mixed ligand complexes^[4]. - c) H. Sigel, S. S. Massoud, R. Tribolet, *J. Am. Chem. Soc.* 110 (1988) 6857.
- [11] R. B. Martin, H. Sigel, *Comments Inorg. Chem.* 6 (1988) 285.
- [12] K. Aoki, *J. Am. Chem. Soc.* 100 (1978) 7106.
- [13] K. Aoki, H. Yamazaki, *Nippon Kagaku Kaishi* (1988) 611.
- [14] a) P. Orioli, R. Cini, D. Donati, S. Mangani, *J. Am. Chem. Soc.* 103 (1981) 4446; b) W. S. Sheldrick, *Angew. Chem. Int. Ed. Engl.* 20 (1981) 460; c) W. S. Sheldrick, *Z. Naturforsch.* B37 (1982) 863.
- [15] a) H. Sigel, *Chimia* 41 (1987) 11; b) H. Sigel, R. Malini-Balakrishnan, U. K. Häring, *J. Am. Chem. Soc.* 107 (1985) 5137.
- [16] a) D. C. Fry, D. M. Byler, H. Susi, E. M. Brown, S. A. Kuby, A. S. Mildvan, *Biochemistry* 27 (1988) 3588; b) M. I. Khamis, J. R. Casas-Finet, A. H. Maki, *J. Biol. Chem.* 262 (1987) 1725; c) M. Vašák, K. Nagayama, K. Wüthrich, M. L. Mertens, J. H. R. Kägi, *Biochemistry* 18 (1979) 5050.
- [17] a) L. A. Basile, J. K. Barton, *Met. Ions. Biol. Syst.* 25 (1989) 31; b) C. Hélène, G. Lancelot, *Prog. Biophys. Mol. Biol.* 39 (1982) 1.

Chimia 44 (1990) 57–58
© Schweizerischer Chemiker-Verband; ISSN 0009-4293

Herstellung von $[(\text{CH}_3)_3\text{Si}]_2\text{NSe}_x\text{N}[\text{Si}(\text{CH}_3)_3]_2$ ($x = 1, 2$) und neuen Se-S-N-Heterocyclen

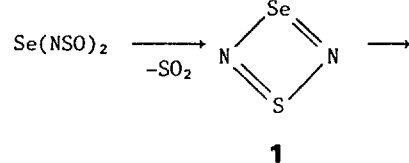
Alois Haas* und Jörg Kasprowski

Abstract: Reaction of $\text{Se}(\text{NSO})_2$ with TiCl_4 yields the four-membered ring SeN_2S (1) which was isolated as the adduct $\text{SeSN}_2\cdot\text{TiCl}_4$ (2). This adduct forms with AsF_5 (molar ratio 1:1) in SO_2 the ionic compound $[\text{SeS}_3\text{N}_5]^\oplus[\text{AsF}_6]^\ominus$ showing a cage structure for the cation (3). The covalent isomer (4b) of the ionic $[\text{ClSe}_2\text{N}_2\text{S}]^\oplus\text{Cl}^\ominus$ (4a) is obtained from $\text{Se}(\text{NSO})_2$ and POCl_3 . Lithium bis(trimethylsilyl)amid reacted with Se_2Cl_2 (molar ratio 2:1) to give the bis(disilylamido)-derivatives of Se_x , $x = 1, 2$. The monoseelenium derivative (5a) forms with SeCl_4 in good yields explosive Se_4N_4 and with SCl_2 a salt $\{\text{SeS}_2\text{N}_2\text{Cl}\}_2$ (6) of unknown structure.

Umsetzungen von Bis(sulfinylamido)-selen mit MF_5 ($\text{M} = \text{As}, \text{Sb}, \text{Nb}$) oder MCl_3 ($\text{M} = \text{P}, \text{Sb}$) führten zu den Cyclothiadidi(selenazenum)-Kationen^[1] $[\text{Se}_2\text{N}_2\text{S}]^{2\oplus}$, $[\text{XSe}_2\text{N}_2\text{S}]^\oplus$ ($\text{X} = \text{Cl}, \text{Br}$) und $[\text{Se}_2\text{N}_2\text{S}]^{2\oplus}$.

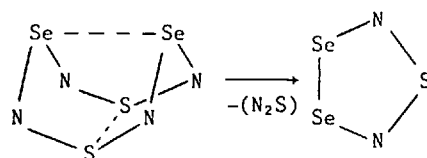
Wir vermuteten, dass diese Fünfringe über die in Schema 1 angegebenen Zwischenstu-

Schema 1



fen entstehen. Es ist nun gelungen, das postulierte Selenschwefeldinitrid (1) als Addukt $\text{SeSN}_2\cdot\text{TiCl}_4$ bei der Umsetzung von $\text{Se}(\text{NSO})_2$ mit TiCl_4 in CH_2Cl_2 gemäß Schema 2 zu isolieren. Das gelb-orange Pulver schmilzt unter Zersetzung bei 250°C und wurde durch vollständige Elementaranalyse sowie IR- und Raman-Spektrum charakterisiert. Im Massenspektrum erscheinen neben den Fragmenten der Lewis-Säure die Bruchstücke SeNS^+ , SeN^+ , SN^+ und Se^+ . Durch Röntgen-Pulveranalysen lässt sich zeigen, dass aus S_2N_2 und TiCl_4 hergestelltes $\text{S}_2\text{N}_2\cdot\text{TiCl}_4$ ^[2] mit dem homologen Addukt 2 isostrukturell ist. Einkristalle von 2 konnten bisher nicht erhalten werden, da es weder sublimiert noch in gebräuchlichen Solventien löslich ist.

Beim Versuch, TiCl_4 in 2 durch AsF_5 zu ersetzen, bildeten sich hellgelbe Kristalle der Zusammensetzung $\text{SeS}_3\text{N}_5[\text{AsF}_6]$, die bei $161\text{--}163^\circ\text{C}$ schmelzen. IR- und ^{19}F -NMR-spektroskopische Untersuchungen



* Korrespondenz: Prof. Dr. A. Haas
Lehrstuhl für Anorganische Chemie II
Ruhr-Universität Bochum
Postfach 102148, D-4630 Bochum 1
(Bundesrepublik Deutschland)

Discussion

The results listed in Table I confirm the increasing stack formation in the Cu(bpy)(5'-NMP) complexes, $\text{IMP}^{2\ominus} < \text{AMP}^{2\ominus} \approx \text{GMP}^{2\ominus}$, and they show in addition that the formation degree of the stack in aqueous solution in all three cases is rather large. It may be added that X-ray crystal studies of $[\text{Cu}(\text{H}\cdot 5'\text{-AMP})(\text{bpy})(\text{H}_2\text{O})]_2 \cdot (\text{NO}_3)_2 \cdot 6\text{H}_2\text{O}$ ^[12], $[\text{Cu}(\text{H}\cdot 5'\text{-AMP})(\text{phen})]_2 \cdot (\text{NO}_3)_2 \cdot 8\text{H}_2\text{O}$ ^[13], and of similar mixed ligand complexes^[14] have proven the formation of intramolecular stacks also for the solid state.

It is remarkable that the intramolecular stack of Equilibrium (1) reaches within the error limits the same formation degree for Cu(bpy)(5'-GMP) and Cu(bpy)(5'-AMP). Indeed, the mentioned order warrants attention as it differs from that observed for the self-stacking tendency of the corresponding base residues (which occurs head-to-tail): inosine ($K = 3.3 \text{ M}^{-1}$) < guanosine (8 M^{-1}) < adenosine (15 M^{-1})^[15]. This observation indicates that in the stack formation donor-acceptor effects are involved because these evidently change in the two compared stacking processes. Furthermore, the results confirm earlier observations^[4,5,7,15] that a metal ion-bridge facilitates stacking interactions.

All the mentioned effects certainly influence the recognition reactions of the base moieties in enzymic reactions of nucleotides, as well as those of nucleic acids with other substances. The occurrence of nucleic base interactions with amino acid side chains^[4,7] in enzymes is well-known^[16], as is the intercalation of bpy, phen, and related ligands^[17] into nucleic acids, especially into DNA.

Received: February 9, 1990 [FC 184]

- [1] S. S. Massoud, R. Tribolet, H. Sigel, *Eur. J. Biochem.* 187 (1990) 387.
- [2] P. D. Boyer, *Biochemistry* 26 (1987) 8503.
- [3] R. B. Martin, *Met. Ions Biol. Syst.* 23 (1988) 315.
- [4] H. Sigel in T. D. Tullius (Ed.): *Metal-DNA Chemistry*, ACS Symp. Ser. No. 402, Washington DC (1989), p. 159.
- [5] H. Sigel, *Biol. Trace Element Res.* 21 (1989) 49.
- [6] H. Sigel, *Coord. Chem. Rev.* 100 (1990) 453.
- [7] a) H. Sigel, *Pure Appl. Chem.* 61 (1989) 923; b) H. Sigel, R. Tribolet, O. Yamauchi, *Comments Inorg. Chem.*, in press.
- [8] S. S. Massoud, H. Sigel, *Inorg. Chim. Acta* 159 (1989) 243.
- [9] The source of the NMPs is the same as previously, and the determinations of equilibrium constants via potentiometric pH titrations were carried out exactly as described^[1,8].

- [10] a) $\text{Cu}(\text{bpy})^{2\ominus}$ is practically completely formed^[18]. In the calculations for Equation (2) H^\oplus , $\text{H}_2(\text{NMP})^\ominus$, $\text{H}(\text{NMP})^\ominus$, $\text{NMP}^{2\ominus}$, $\text{Cu}(\text{bpy})^{2\ominus}$, and $\text{Cu}(\text{bpy})(\text{NMP})$ are taken into account^[1,8]. The acidity constants are based on direct pH-meter reading, i.e. they are defined for H^\oplus activity (so-called «mixed» or Brønsted constants): $K_{\text{H}}^{\text{H}_2(\text{NMP})} = [\text{H}^\oplus][\text{H}(\text{NMP})^\ominus]/[\text{H}_2(\text{NMP})]$ and $K_{\text{H}}^{\text{H}(\text{NMP})} = [\text{H}^\oplus][\text{NMP}^{2\ominus}]/[\text{H}(\text{NMP})^\ominus]$. - b) In the $\text{Cu}^{2\ominus}$ complexes of $\text{IMP}^{2\ominus}$, $\text{GMP}^{2\ominus}$, and $\text{AMP}^{2\ominus}$ macrochelate formation with N-7 of the purine moiety occurs^[4,10c]; however, N-7 is released from the coordination sphere of metal ions upon formation of mixed ligand complexes^[4]. - c) H. Sigel, S. S. Massoud, R. Tribolet, *J. Am. Chem. Soc.* 110 (1988) 6857.
- [11] R. B. Martin, H. Sigel, *Comments Inorg. Chem.* 6 (1988) 285.
- [12] K. Aoki, *J. Am. Chem. Soc.* 100 (1978) 7106.
- [13] K. Aoki, H. Yamazaki, *Nippon Kagaku Kaishi* (1988) 611.
- [14] a) P. Orioli, R. Cini, D. Donati, S. Mangani, *J. Am. Chem. Soc.* 103 (1981) 4446; b) W. S. Sheldrick, *Angew. Chem. Int. Ed. Engl.* 20 (1981) 460; c) W. S. Sheldrick, *Z. Naturforsch.* B37 (1982) 863.
- [15] a) H. Sigel, *Chimia* 41 (1987) 11; b) H. Sigel, R. Malini-Balakrishnan, U. K. Häring, *J. Am. Chem. Soc.* 107 (1985) 5137.
- [16] a) D. C. Fry, D. M. Byler, H. Susi, E. M. Brown, S. A. Kuby, A. S. Mildvan, *Biochemistry* 27 (1988) 3588; b) M. I. Khamis, J. R. Casas-Finet, A. H. Maki, *J. Biol. Chem.* 262 (1987) 1725; c) M. Vašák, K. Nagayama, K. Wüthrich, M. L. Mertens, J. H. R. Kägi, *Biochemistry* 18 (1979) 5050.
- [17] a) L. A. Basile, J. K. Barton, *Met. Ions. Biol. Syst.* 25 (1989) 31; b) C. Hélène, G. Lancelot, *Prog. Biophys. Mol. Biol.* 39 (1982) 1.

Chimia 44 (1990) 57–58
© Schweizerischer Chemiker-Verband; ISSN 0009-4293

Herstellung von $[(\text{CH}_3)_3\text{Si}]_2\text{NSe}_x\text{N}[\text{Si}(\text{CH}_3)_3]_2$ ($x = 1, 2$) und neuen Se-S-N-Heterocyclen

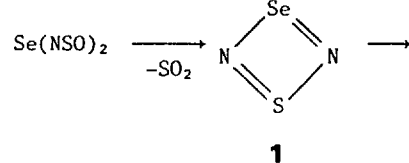
Alois Haas* und Jörg Kasprowski

Abstract: Reaction of $\text{Se}(\text{NSO})_2$ with TiCl_4 yields the four-membered ring SeN_2S (1) which was isolated as the adduct $\text{SeSN}_2\cdot\text{TiCl}_4$ (2). This adduct forms with AsF_5 (molar ratio 1:1) in SO_2 the ionic compound $[\text{SeS}_3\text{N}_5]^\oplus[\text{AsF}_6]^\ominus$ showing a cage structure for the cation (3). The covalent isomer (4b) of the ionic $[\text{ClSe}_2\text{N}_2\text{S}]^\oplus\text{Cl}^\ominus$ (4a) is obtained from $\text{Se}(\text{NSO})_2$ and POCl_3 . Lithium bis(trimethylsilyl)amid reacted with Se_2Cl_2 (molar ratio 2:1) to give the bis(disilylamido)-derivatives of Se_x , $x = 1, 2$. The monoseelenium derivative (5a) forms with SeCl_4 in good yields explosive Se_4N_4 and with SCl_2 a salt $\{\text{SeS}_2\text{N}_2\text{Cl}\}_2$ (6) of unknown structure.

Umsetzungen von Bis(sulfinylamido)selen mit MF_5 ($\text{M} = \text{As}, \text{Sb}, \text{Nb}$) oder MCl_3 ($\text{M} = \text{P}, \text{Sb}$) führten zu den Cyclothiadidi(selenazenum)-Kationen^[1] $[\text{Se}_2\text{N}_2\text{S}]^{2\oplus}$, $[\text{XSe}_2\text{N}_2\text{S}]^\oplus$ ($\text{X} = \text{Cl}, \text{Br}$) und $[\text{Se}_2\text{N}_2\text{S}]^{2\oplus}$.

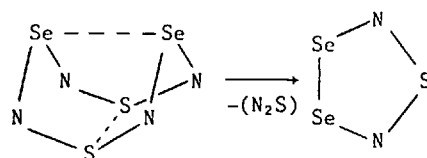
Wir vermuteten, dass diese Fünfringe über die in Schema 1 angegebenen Zwischenstufen

Schema 1



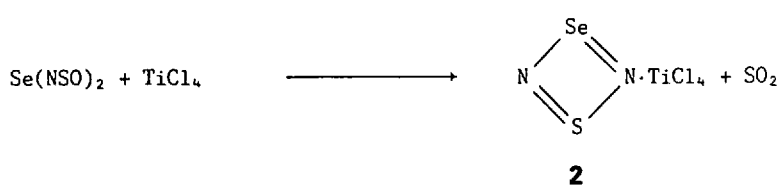
entstehen. Es ist nun gelungen, das postulierte Selenschwefeldinitrid (1) als Addukt $\text{SeSN}_2\cdot\text{TiCl}_4$ bei der Umsetzung von $\text{Se}(\text{NSO})_2$ mit TiCl_4 in CH_2Cl_2 gemäß Schema 2 zu isolieren. Das gelb-orange Pulver schmilzt unter Zersetzung bei 250°C und wurde durch vollständige Elementaranalyse sowie IR- und Raman-Spektrum charakterisiert. Im Massenspektrum erscheinen neben den Fragmenten der Lewis-Säure die Bruchstücke SeNS^+ , SeN^+ , SN^+ und Se^+ . Durch Röntgen-Pulveranalysen lässt sich zeigen, dass aus S_2N_2 und TiCl_4 hergestelltes $\text{S}_2\text{N}_2\cdot\text{TiCl}_4$ ^[2] mit dem homologen Addukt 2 isostrukturell ist. Einkristalle von 2 konnten bisher nicht erhalten werden, da es weder sublimiert noch in gebräuchlichen Solventien löslich ist.

Beim Versuch, TiCl_4 in 2 durch AsF_5 zu ersetzen, bildeten sich hellgelbe Kristalle der Zusammensetzung $\text{SeS}_3\text{N}_5[\text{AsF}_6]$, die bei $161\text{--}163^\circ\text{C}$ schmelzen. IR- und ^{19}F -NMR-spektroskopische Untersuchungen



* Korrespondenz: Prof. Dr. A. Haas
Lehrstuhl für Anorganische Chemie II
Ruhr-Universität Bochum
Postfach 102148, D-4630 Bochum 1
(Bundesrepublik Deutschland)

Schema 2



Schema 3



weisen auf eine ionische Verbindung $[\text{SeS}_3\text{N}_5]^\oplus[\text{AsF}_6]^\ominus$ (**3**) hin; die Ähnlichkeit der IR-Spektren von **3** und $[\text{S}_4\text{N}_5]^\oplus[\text{AsF}_6]^\ominus$ ^[8] ist ein Indiz dafür, dass das Kation in **3** dem Bicyclus $[\text{S}_4\text{N}_5]^\oplus$ entspricht und die Struktur **3a** oder **3b** hat. Eine Röntgen-Strukturanalyse^[3] ermöglichte die Entscheidung für Bicyclus **3a**, in dem das Selenatom eine Brückenkopfposition einnimmt.

Bei Umsetzungen von $\text{Se}(\text{NSO})_2$ mit PCl_5 oder SeCl_4 konnte die Verbindung $\text{Cl}_2\text{Se}_2\text{N}_2\text{S}$ ^[1] in Form von Einkristallen isoliert werden. Die Röntgen-Strukturanalyse^[3] ergab, dass es sich hierbei um das ionische Isomer $[\text{ClSe}_2\text{N}_2\text{S}]^\oplus\text{Cl}^\ominus$ (**4a**) handelt. Im Kation betragen die Atomabstände $d(\text{Se}-\text{Se}) = 2.415(1)$ Å, $d(\text{Se}-\text{N}) = 1.813(3)$ bzw. 1.820(2) Å, $d(\text{S}-\text{N}) = 1.578(3)$ bzw. 1.545(3) Å und $d(\text{Se}-\text{Cl}) = 2.265(1)$ Å. Der kürzeste Se-Anion-Abstand beträgt $d(\text{Se}-\text{Cl}^\ominus) = 2.825(1)$ Å. Mit POCl_3 reagiert $\text{Se}(\text{NSO})_2$ hingegen unter Bildung eines orange-roten kristallinen

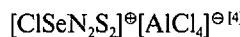
Produkts derselben stöchiometrischen Zusammensetzung $\text{Cl}_2\text{Se}_2\text{N}_2\text{S}$ (**4b**). Aus den unterschiedlichen, dennoch aber ähnlichen IR-Spektren von **4a** und **4b** [**4a**: 1017 (m), 915 (s), 612 (s), 591 (m), 464 (w) cm⁻¹; **4b**: 1012 (m), 908 (s), 612 (s), 607 (s), 600 (m), 476 (w), 473 (w) cm⁻¹] schliessen wir auf das Vorliegen der in Schema 4 formulierten Isomere. Erstmals wurde eine Ionen-Kovalenz-Isomerie bei Chalkogen-Stickstoff-Verbindungen am Beispiel von $\text{N}_2\text{S}_2\text{SeCl}_2$ ^[4] beobachtet. Die Röntgen-Strukturanalyse dieser Substanz bewies, dass im Einkristall sowohl die ionische Form $[\text{ClSe}_2\text{N}_2\text{S}]^\oplus\text{Cl}^\ominus$ als auch die kovalente Form $\text{Cl}_2\text{Se}_2\text{N}_2\text{S}$ vorliegen^[5].

Mit dem Bis(disilylamido)selen **5a** haben wir nun ein weiteres Synthon zur Herstellung Se-S-N- oder Se-N-Heterocyclen gefunden. Das Monoselendiimid **5a** entsteht neben dem entsprechenden Diselendiimid **5b** bei der Umsetzung von Se_2Cl_2 mit $\text{LiN}[\text{Si}(\text{CH}_3)_3]_2$ gemäss Schema 5. Das Produkt **5a** lässt sich als farblose Kristalle,

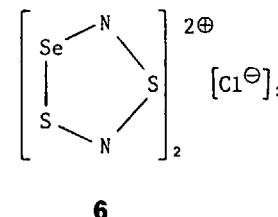
Schmelzpunkt 68–69°C, isolieren (Ausbeute 16%), **5b** wird als gelbes Öl erhalten (Ausbeute 21%). Beide Verbindungen wurden durch Elementaranalyse, IR-, ¹H-NMR-, ⁷⁷Se-NMR- und Massenspektren charakterisiert.

Bei der Umsetzung von **5a** mit SeCl_4 entsteht unter Abspaltung von $(\text{CH}_3)_3\text{SiCl}$ lediglich das explosive Se_4N_4 , das IR-spektroskopisch (KBr-Pressling) identifiziert^[6] wurde.

Anders verlaufen Reaktionen von **5a** mit SCl_2 : Ausgehend vom Molverhältnis 1:2 erhält man als Produkt ein braunes Pulver der Zusammensetzung $\text{SeS}_2\text{N}_2\text{Cl}$. Aus einem Vergleich des IR-Spektrums dieser Substanz mit dem von Salzen des Dikations $[\text{Se}_2\text{N}_2\text{S}]^{2\oplus}$ ^[7] sowie mit dem erst kürzlich publizierten von



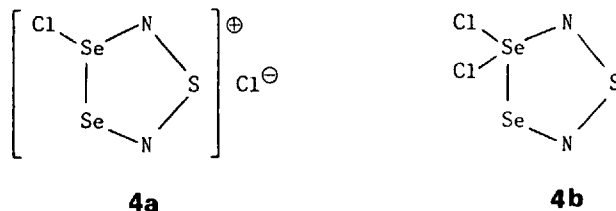
lässt sich der Strukturvorschlag **6** herleiten [$\nu(\text{Se}-\text{N})$ bei 606 cm⁻¹, $\nu(\text{N}-\text{S}-\text{N})$ bei 938 cm⁻¹ und vermutlich $\nu(\text{S}-\text{N})$ bei 708 cm⁻¹ als charakteristische intensive Bänder]. Die Frage, wie die beiden Fünfringe in **6** miteinander verknüpft sind, ist noch ungeklärt.



Eingegangen am 8. März 1990 [FC 186]

- [1] A. Haas, J. Kasprowski, *Chimia* 42 (1988) 343.
- [2] H. W. Roesky, J. Anhaus, W. S. Sheldrick, *Inorg. Chem.* 23 (1984) 75.
- [3] C. Krüger, unveröffentlichte Ergebnisse.
- [4] A. Apblett, T. Chivers, J. F. Fait, *J. Chem. Soc. Chem. Commun.* (1989) 1596.
- [5] J. P. Kent, *Dissertation*, McMaster University, Hamilton, Ontario (1984).
- [6] J. Adel, C. Ergezinger, R. Figge, K. Dehnicke, *Z. Naturforsch. B* 43 (1988) 639.
- [7] G. Wolmershäuser, C. R. Brulet, G. B. Street, *Inorg. Chem.* 17 (1978) 3586.
- [8] W. Isenberg, R. Mews, *Z. Naturforsch. B* 37 (1982) 1388.

Schema 4



Schema 5

